

宋伦继

第五章 插值法 /* Interpolation Methods*/

➤ 科学背景和应用

1. Lagrange插值多项式
2. Newton插值多项式
3. Hermite插值
4. 分段低次插值方法
5. 三次样条插值函数

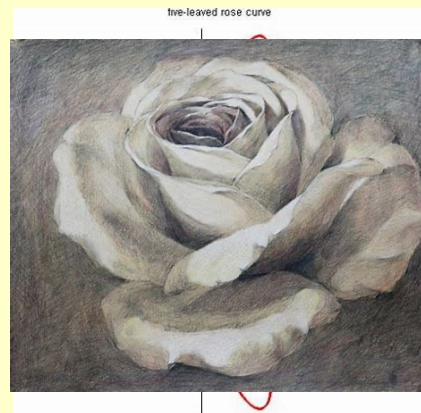
曲线形状的数学描述

很久以前数学家们就已经注意到某些植物的叶、花形状与一些封闭曲线非常相似。



17世纪法国数学家给出“茉莉花瓣”的方程是笛卡尔曲线

$$x^3 + y^3 = 3axy$$

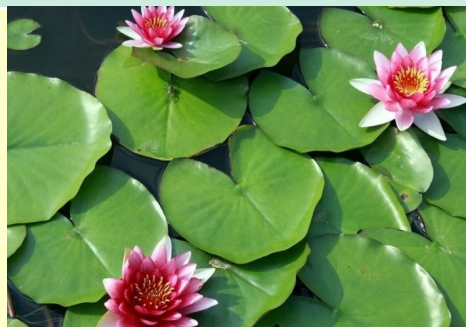


“玫瑰形线”的方程

$$\rho = a \sin k\varphi$$

又如睡莲、三叶草、常春藤等植物叶子形状的方程

植物名称	数学方程
三叶草	$\rho = 4(1 + \cos 3\varphi + \sin^3 3\varphi)$
睡莲	$(x^2 + y^2)^3 - 2ax^3(x^2 + y^2) + (a^2 + r^2)x^4 = 0$
常春藤	$\begin{aligned} \rho &= 3(1 + \cos^2 \varphi) + 2 \cos \varphi + \sin^2 \varphi \\ &\quad - 2 \sin^2 3\varphi \cos^4 \frac{\varphi}{2} \end{aligned}$

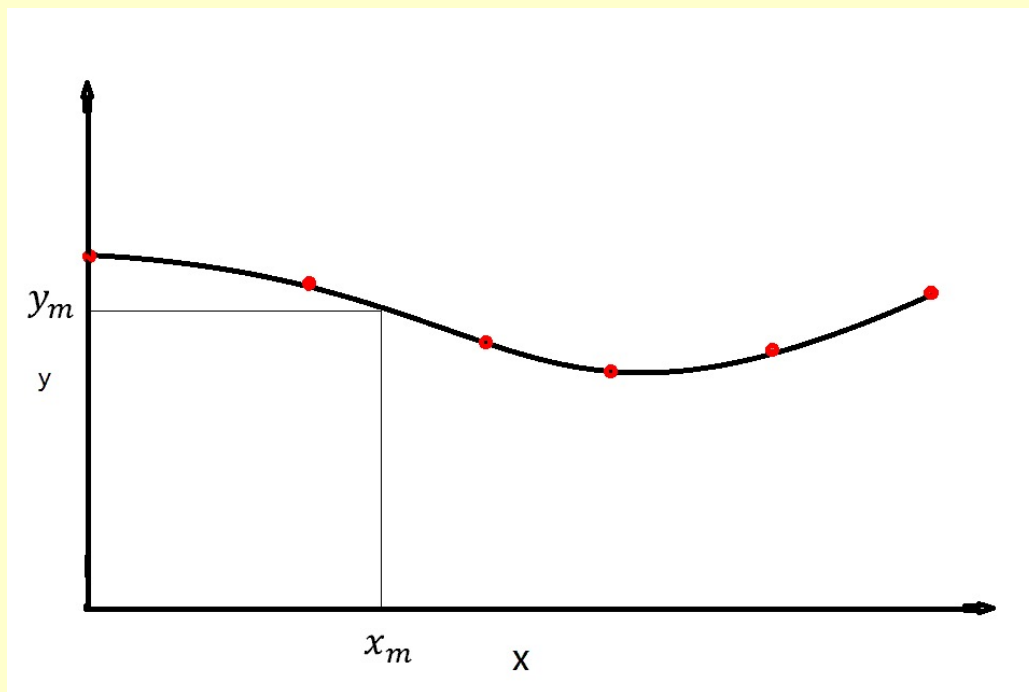




如图中华樱桃树叶片边缘呈锯齿状，但是似乎没有更好的光滑初等函数来表示。

问题：如果给出一组数据点 (x_i, y_i) , $i=1,2,3,\dots,n$,问利用这些数据如何计算 x_0 处的 y_0 值。

取点后用平滑的曲线把这些点连接起来。写成一个多项式方程，就有了曲线的表达式。

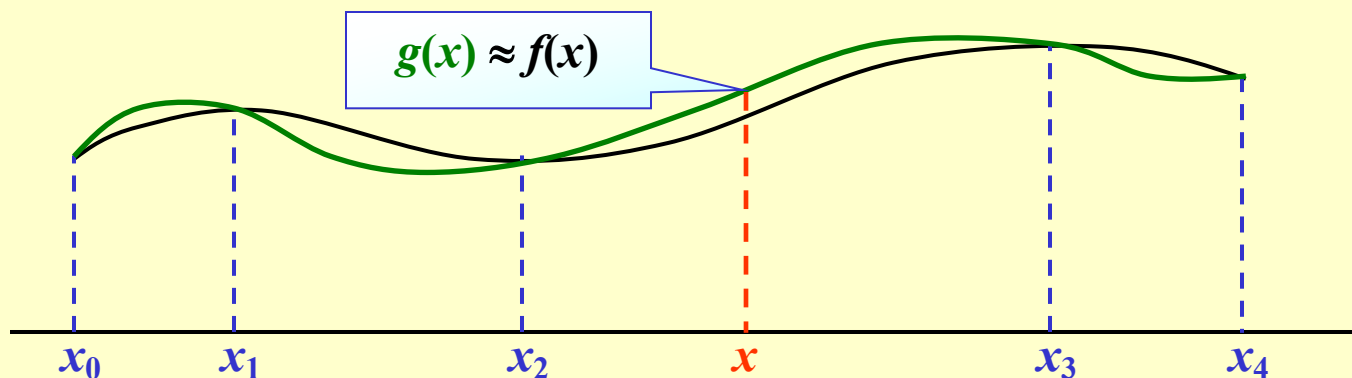


如果有横坐标 x_m ，需要知道它的纵坐标 y_m ，那么只需要把 x_m 代入给出的方程表达式计算，函数值就是 y_m ，这就是插值过程。

问题：当精确函数 $y = f(x)$ 非常复杂或未知时，
在一系列节点 $x_0 \dots x_n$ 处测得函数值

$$y_0 = f(x_0), \dots y_n = f(x_n),$$

由此构造一个简单易算的近似函数 $g(x) \approx f(x)$ ，
满足条件 $g(x_i) = f(x_i)$ ($i = 0, \dots, n$)。这里的 $g(x)$
称为 $f(x)$ 的插值函数。最常用的插值函数
是 ...? **多项式**



§ 1 拉格朗日多项式 /* Lagrange Polynomial */

求 n 次多项式 $P_n(x) = a_0 + a_1x + \cdots + a_nx^n$ 使得

$$P_n(x_i) = y_i, \quad i = 0, \dots, n$$

条件：无重合节点，即 $i \neq j \implies x_i \neq x_j$

$n = 1$

已知 $x_0, x_1; y_0, y_1$ ，求 $P_1(x) = a_0 + a_1x$ 使得

$$P_1(x_0) = y_0, \quad P_1(x_1) = y_1$$

可见 $P_1(x)$ 是过 (x_0, y_0) 和 (x_1, y_1) 两点的直线。

$$\longrightarrow P_1(x) = y_0 + \frac{y_1 - y_0}{x_1 - x_0}(x - x_0)$$

$$= \underbrace{\left\{ \frac{x - x_1}{x_0 - x_1} \right\}}_{l_0(x)} y_0 + \underbrace{\left\{ \frac{x - x_0}{x_1 - x_0} \right\}}_{l_1(x)} y_1 = \sum_{i=0}^1 l_i(x) y_i$$

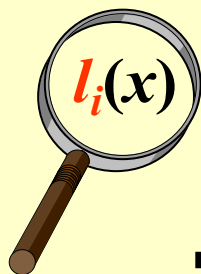
满足条件 $l_i(x_j) = \delta_{ij}$

称拉格朗日基函数

$n \geq 1$

希望找到 $l_i(x)$, $i = 0, \dots, n$ 使得 $l_i(x_j) = \delta_{ij}$; 令

$$P_n(x) = \sum_{i=0}^n l_i(x) y_i , \text{ 则显然有 } P_n(x_i) = y_i .$$



每个 l_i 有 n 个根 $x_0 \dots x_{i-1} \text{ } \cancel{x_i} \text{ } x_{i+1} \dots x_n$

$$\rightarrow l_i(x) = C_i (x - x_0) \dots (\cancel{x - x_i}) \dots (x - x_n) = C_i \prod_{\substack{j \neq i \\ j=0}}^n (x - x_j)$$

$$l_i(x_i) = 1 \rightarrow C_i = \prod_{j \neq i} \frac{1}{(x_i - x_j)} \quad \wedge$$

$$l_i(x) = \prod_{\substack{j \neq i \\ j=0}}^n \frac{(x - x_j)}{(x_i - x_j)}$$



$$L_n(x) = \sum_{i=0}^n l_i(x) y_i$$

与 **节点** 有关 , 而与 f 无关

Lagrange
Polynomial

定理 (唯一性) 满足 $P(x_i) = y_i, i = 0, \dots, n$ 的 n 阶插值多项式是唯一存在的。

证明： (利用 *Vandermonde* 行列式论证)

反证：若不唯一，则除了 $L_n(x)$ 外有另一 n 阶多项式 $P_n(x)$ 满足 $P_n(x_i) = y_i$ 。

考察 $Q_n(x) = P_n(x) - L_n(x)$ ，则 Q_n 的阶数 $\leq n$

而 Q_n 有 $n+1$ 个不同的根 $x_0 \dots x_n$

■

注： 若不将多项式次数限制为 n ，则插值多项式不唯一。

例如 $P(x) = L_n(x) + p(x) \prod_{i=0}^n (x - x_i)$ 也是一个插值多项式，其中 $p(x)$ 可以是任意多项式或常数，但是次数超过 n 。

拉格朗日插值函数数值程序：

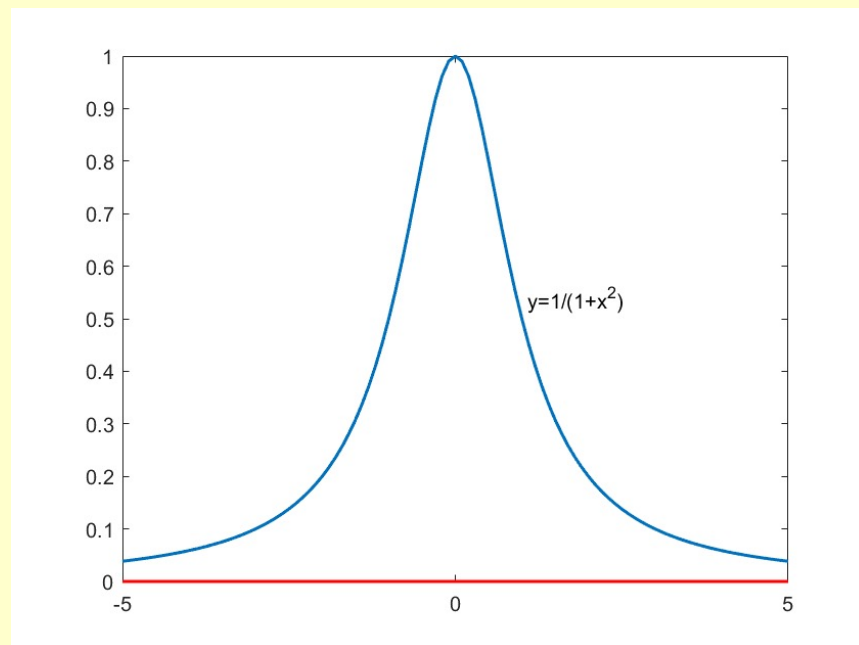
```
function y=Lagrange(x0,y0,x)
n=length(x0); m=length(x);
for i=1:m
    z=x(i);
    s=0.0;
    for k=1:n
        p=1.0;
        for j=1:n
            if j~=k
                p=p*(z-x0(j))/(x0(k)-x0(j));
            end
        end
        s=p*y0(k)+s;
    end
    y(i)=s;
end
```

数值算例: 计算下面函数的二次、三次、四次、五次、六次拉格朗日插值，并作图

$$y = \frac{1}{x^2 + 1}$$

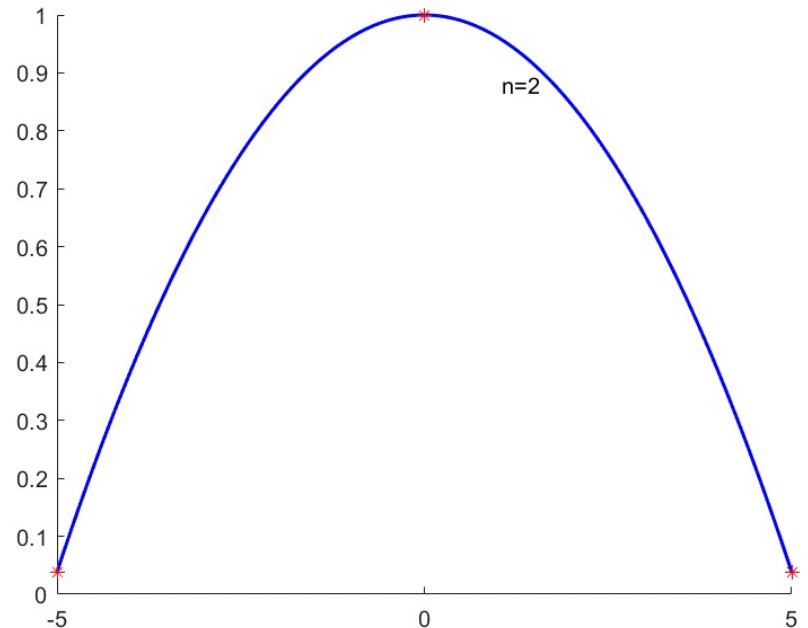
(1) 我们先画出函数 y 在 $[-5, 5]$ 上的原始图像。

```
m=101;  
x=-5:10/(m-1):5;  
y=1./(1+x.^2);z=0*x;  
plot(x,z,'r',x,y,'LineWidth',1.5) ;  
gtext('y=1/(1+x^2)')
```



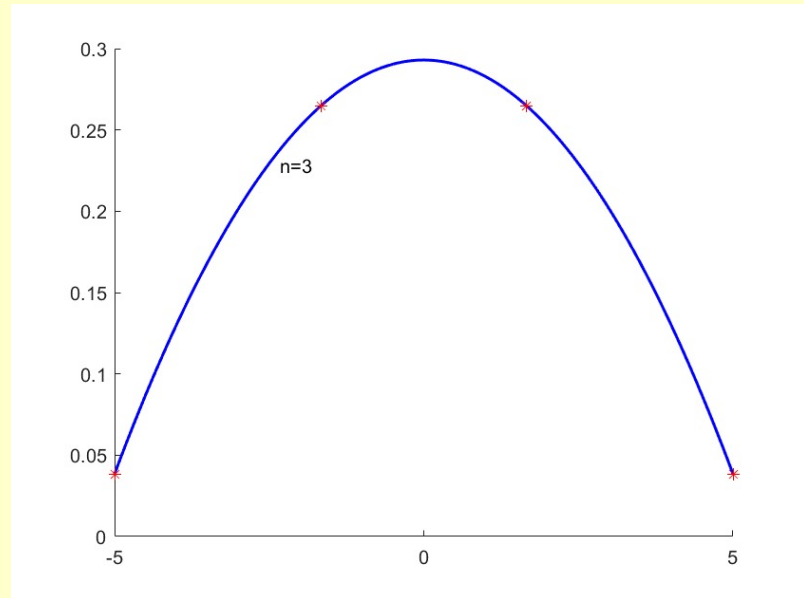
(2) 取定3个不同节点，计算各节点的函数值，再调用Lagrange函数，画出函数 y 在 $[-5, 5]$ 上的二次插值图像。

```
n=3; %取3个不同节点
x0=-5:10/(n-1):5;
y0=1./(1+x0.^2);
y1=Lagrange(x0,y0,x);
hold on ;
plot(x,y1,'b','LineWidth',1.5) ;
plot(x0,y0,'r*') ;
gtext('n=2') ;
```

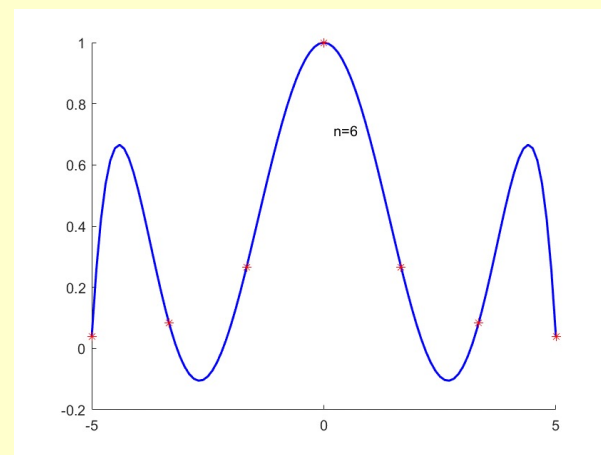
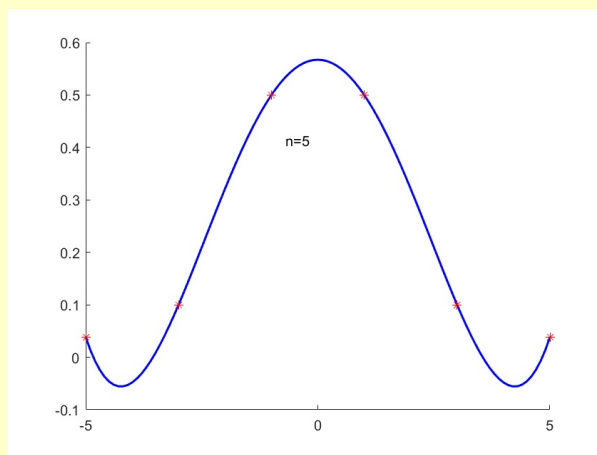
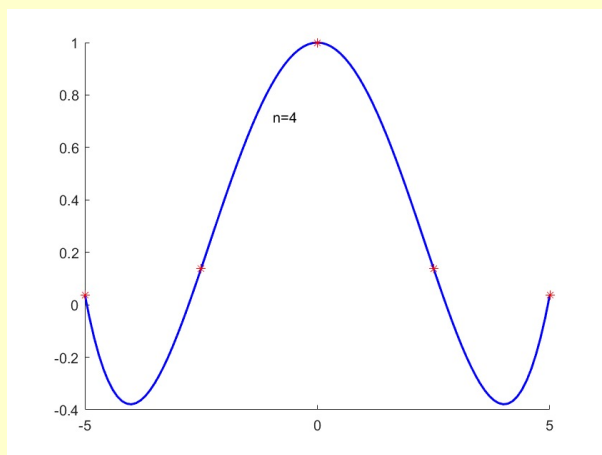


(3) 取定4个节点，计算各节点的函数值，再调用Lagrange函数，画出函数 y 在 $[-5, 5]$ 上的三次插值图像。

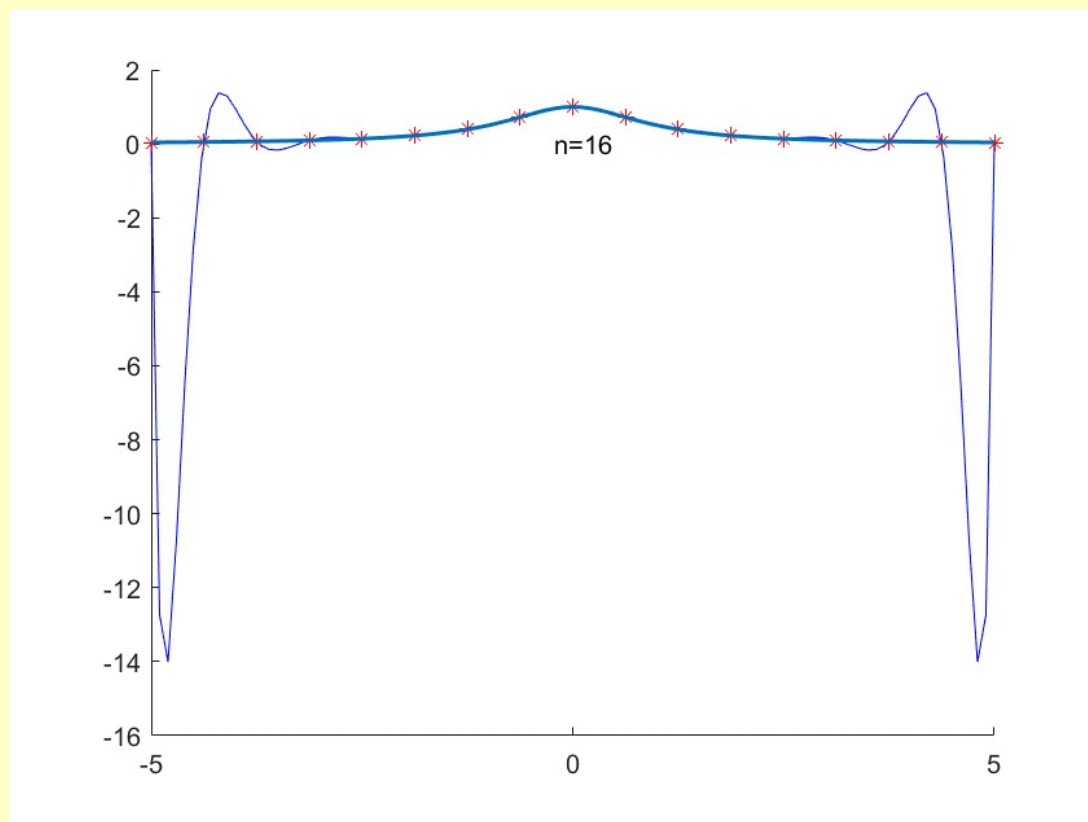
```
n=3; %取3个不同节点
x0=-5:10/(n-1):5;
y0=1./(1+x0.^2);
y1=Lagrange(x0,y0,x);
hold on ;
plot(x,y1,'b','LineWidth',1.5);
plot(x0,y0,'r*') ;
gtext('n=2') ;
```



同理，画出函数 y 在 $[-5, 5]$ 上的四次、五次、六次插值图像。

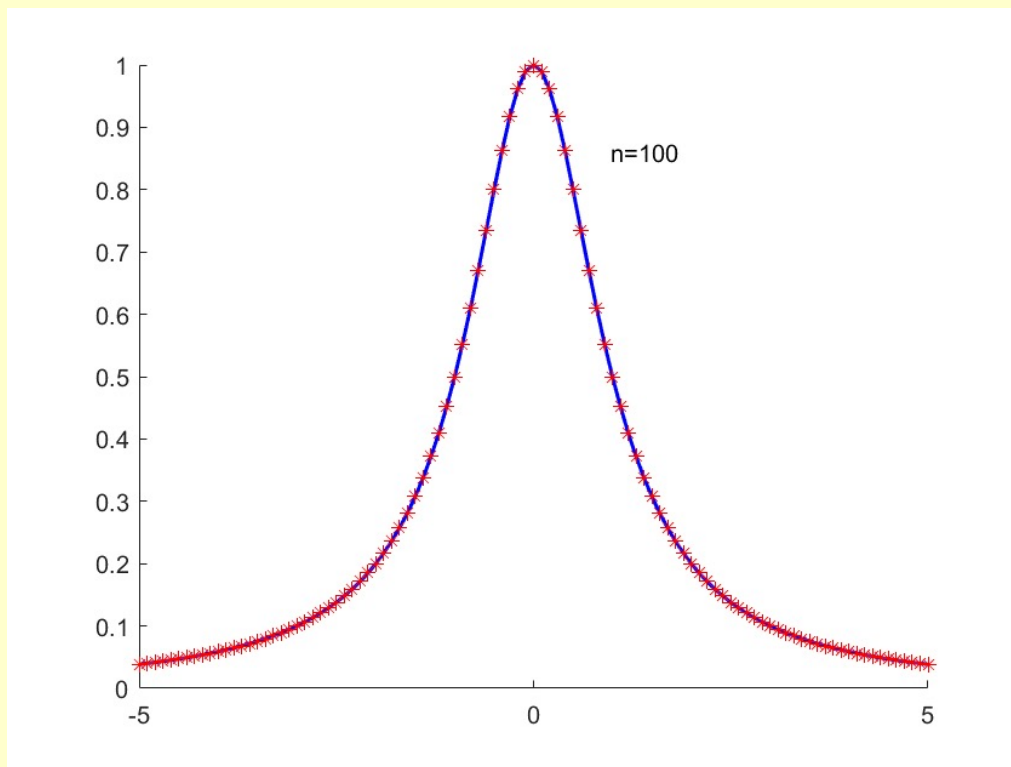


但是当取多少个不同节点，才能画出函数 y 在 $[-5, 5]$ 上的16次插值图像？那么从图中能看到什么奇怪的现象呢？

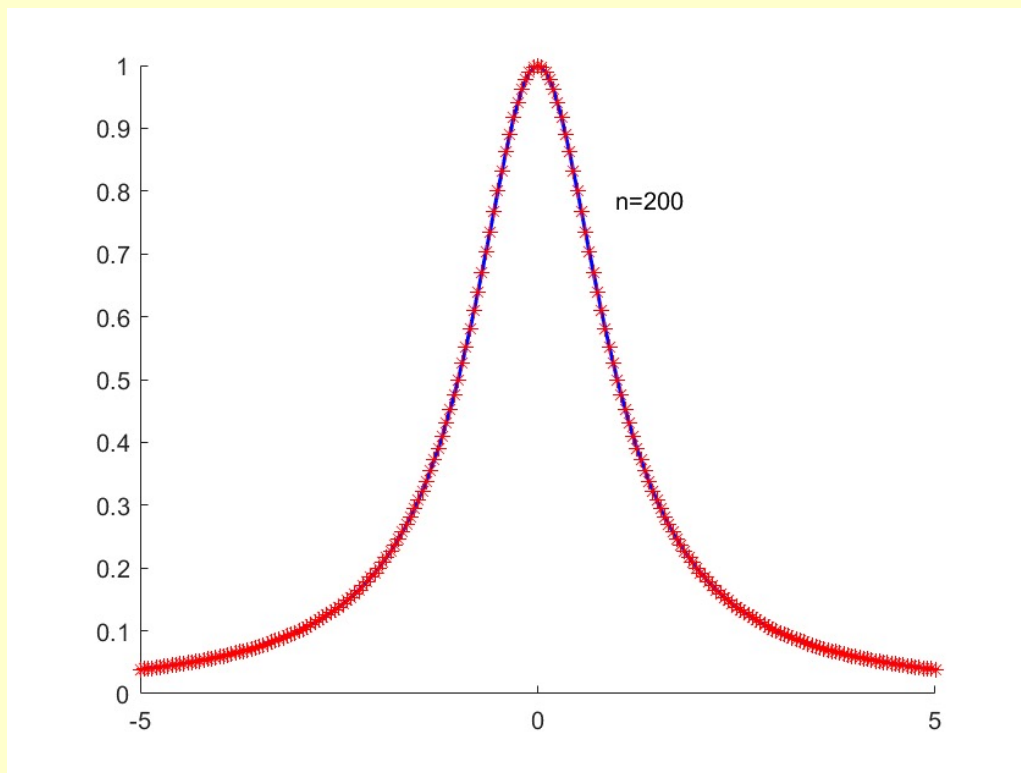


两端出现很大的“跳跃”扰动，我们称之为**龙格 (Runge) 现象**。

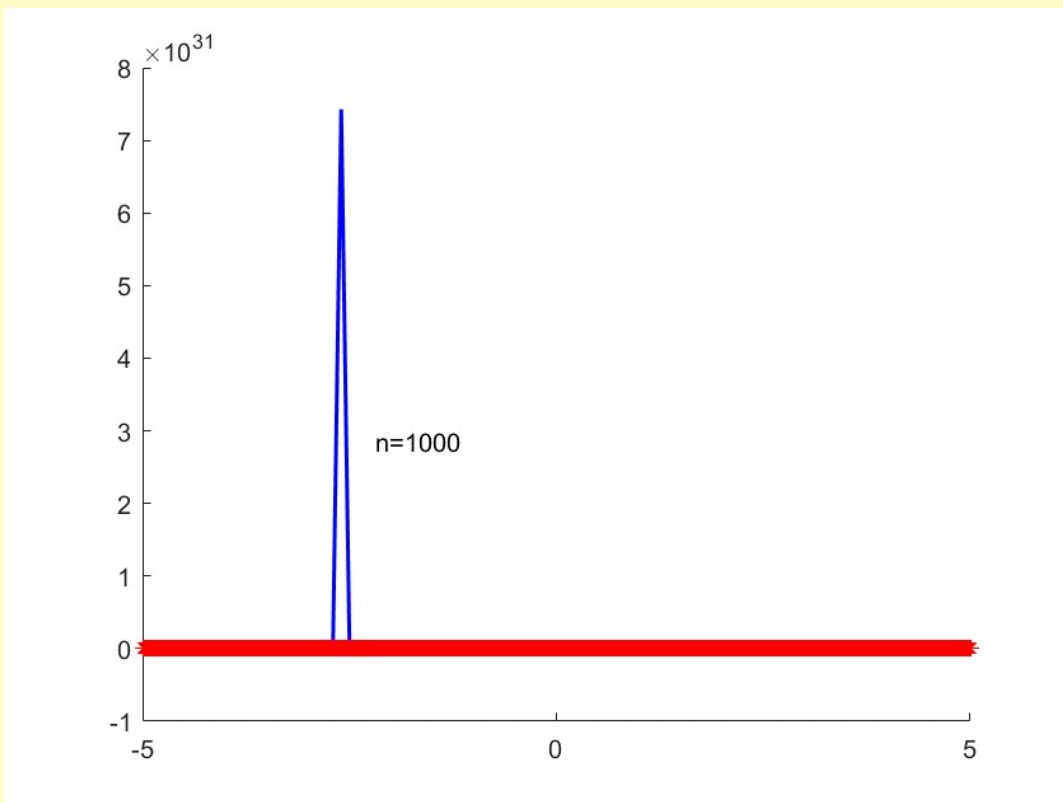
100次Lagrange插值函数的图像是什么样？
计算结果非常的贴近原来的函数。



200次插值图像是什么样的？计算结果仍然逼近原来的函数。



问题：1000次插值图像是什么样的？会有逼近效果？



显然没有很好逼近，在局部产生非常大的扰动。所以我们并不建议使用特别高次的插值多项式逼近函数。

► 插值余项 /* Remainder */

设节点 $a \leq x_0 < x_1 < \cdots < x_n \leq b$, 且 f 满足条件 $f \in C^n[a, b]$, $f^{(n+1)}$ 在 $[a, b]$ 内存在, 考察截断误差 $R_n(x) = f(x) - L_n(x)$

Rolle's Theorem: 若 $\varphi(x)$ 充分光滑, $\varphi(x_0) = \varphi(x_1) = 0$, 则存在 $\xi \in (x_0, x_1)$ 使得 $\varphi'(\xi) = 0$ 。

推广 : 若 $\varphi(x_0) = \varphi(x_1) = \varphi(x_2) = 0 \implies \xi_0 \in (x_0, x_1), \xi_1 \in (x_1, x_2)$
使得 $\varphi'(\xi_0) = \varphi'(\xi_1) = 0 \implies \xi \in (\xi_0, \xi_1)$ 使得 $\varphi''(\xi) = 0$

$$\varphi(x_0) = \cdots = \varphi(x_n) = 0$$

\implies 存在 $\xi \in (a, b)$ 使得 $\varphi^{(n)}(\xi) = 0$

插值余项 /* Remainder */

设节点 $a \leq x_0 < x_1 < \cdots < x_n \leq b$, 且 f 满足条件 $f \in C^{n+1}[a, b]$, $f^{(n+1)}$ 在 $[a, b]$ 内存在, 考察截断误差 $R_n(x) = f(x) - L_n(x)$

$R_n(x)$ 至少有 $n+1$ 个根 $\longrightarrow R_n(x) = K(x) \prod_{i=0}^n (x - x_i)$

任意固定 $x \neq x_i$ ($i = 0, \dots, n$), 考察 $\varphi(t) = R_n(t) - K(x) \prod_{i=0}^n (t - x_i)$

$\varphi(t)$ 有 $n+2$ 个不同的根 $x_0 \dots x_n x \longrightarrow \varphi^{(n+1)}(\xi_x) = 0, \quad \xi_x \in (a, b)$

$$\begin{aligned} & \parallel \\ f^{(n+1)}(\xi_x) - \cancel{L_n^{(n+1)}}(\xi_x) - K(x)(n+1)! &= R_n^{(n+1)}(\xi_x) - K(x)(n+1)! \end{aligned}$$

$$\longrightarrow K(x) = \frac{f^{(n+1)}(\xi_x)}{(n+1)!}$$

$$R_n(x) = \frac{f^{(n+1)}(\xi_x)}{(n+1)!} \prod_{i=0}^n (x - x_i)$$

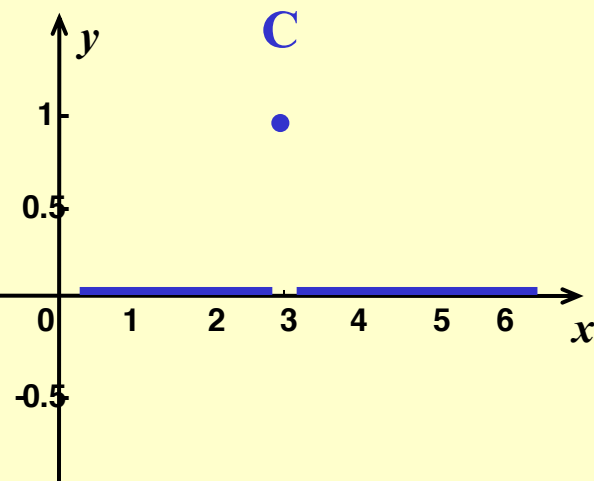
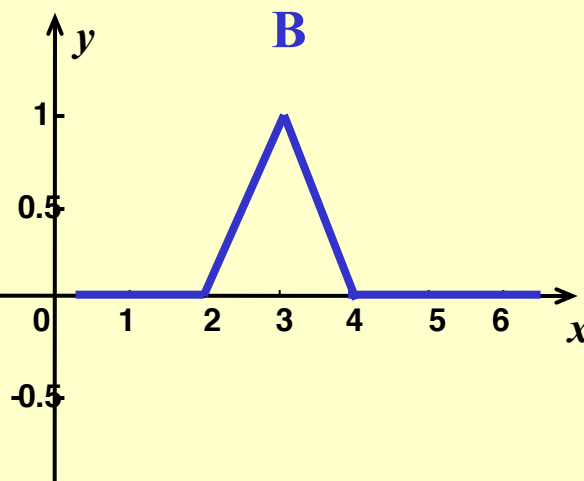
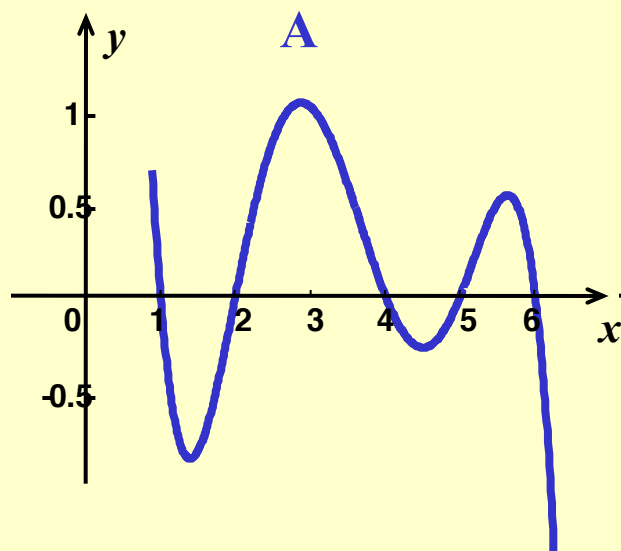
注意这里是对 t 求导

注：通常不能确定 ξ_x ，而是估计 $|f^{(n+1)}(x)| \leq M_{n+1}, \forall x \in (a, b)$

将 $\frac{M_{n+1}}{(n+1)!} \prod_{i=0}^n |x - x_i|$ 作为误差估计上限。

当 $f(x)$ 为任一个次数 $\leq n$ 的多项式时， $f^{(n+1)}(x) \equiv 0$ ，可知 $R_n(x) \equiv 0$ ，即插值多项式对于次数 $\leq n$ 的多项式是精确的。

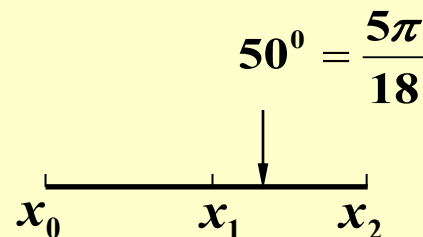
Quiz: 给定 $x_i = i + 1, i = 0, 1, 2, 3, 4, 5$. 下面哪个是 $l_2(x)$ 的图像？



例：已知 $\sin \frac{\pi}{6} = \frac{1}{2}$, $\sin \frac{\pi}{4} = \frac{1}{\sqrt{2}}$, $\sin \frac{\pi}{3} = \frac{\sqrt{3}}{2}$

分别利用 $\sin x$ 的1次、2次 Lagrange 插值计算 $\sin 50^\circ$ 并估计误差。

解： $n = 1$ 分别利用 x_0, x_1 以及 x_1, x_2 计算



⊕ 利用 $x_0 = \frac{\pi}{6}, x_1 = \frac{\pi}{4} \Rightarrow L_1(x) = \frac{x - \pi/4}{\pi/6 - \pi/4} \times \frac{1}{2} + \frac{x - \pi/6}{\pi/4 - \pi/6} \times \frac{1}{\sqrt{2}}$

$\sin 50^\circ \approx L_1\left(\frac{5\pi}{18}\right) \approx 0.77614$ 这里 $f(x) = \sin x, f^{(2)}(\xi_x) = -\sin \xi_x, \xi_x \in (\frac{\pi}{6}, \frac{\pi}{3})$

而 $\frac{1}{2} < \sin \xi_x < \frac{\sqrt{3}}{2}, R_1(x) = \frac{f^{(2)}(\xi_x)}{2!} (x - \frac{\pi}{6})(x - \frac{\pi}{4})$

$\Rightarrow -0.01319 < R_1\left(\frac{5\pi}{18}\right) < -0.00762 \quad \sin 50^\circ = 0.7660444\dots$

外推 /* extrapolation */ 的实际误差 ≈ -0.01001

⊕ 利用 $x_1 = \frac{\pi}{4}, x_2 = \frac{\pi}{3} \Rightarrow \sin 50^\circ \approx 0.76008, 0.00538 < \tilde{R}_1\left(\frac{5\pi}{18}\right) < 0.00660$

内插 /* interpolation */ 的实际误差 ≈ 0.00596

内插通常优于外推。

$$n = 2$$

$$L_2(x) = \frac{(x - \frac{\pi}{4})(x - \frac{\pi}{3})}{(\frac{\pi}{6} - \frac{\pi}{4})(\frac{\pi}{6} - \frac{\pi}{3})} \times \frac{1}{2} + \frac{(x - \frac{\pi}{6})(x - \frac{\pi}{3})}{(\frac{\pi}{4} - \frac{\pi}{6})(\frac{\pi}{4} - \frac{\pi}{3})} \times \frac{1}{\sqrt{2}} + \frac{(x - \frac{\pi}{6})(x - \frac{\pi}{4})}{(\frac{\pi}{3} - \frac{\pi}{6})(\frac{\pi}{3} - \frac{\pi}{4})} \times \frac{\sqrt{3}}{2}$$

$$\sin 50^\circ \approx L_2\left(\frac{5\pi}{18}\right) \approx \mathbf{0.76543}$$

$$R_2(x) = \frac{-\cos \xi_x}{3!} (x - \frac{\pi}{6})(x - \frac{\pi}{4})(x - \frac{\pi}{3}); \quad \frac{1}{2} < \cos \xi_x < \frac{\sqrt{3}}{2}$$

$$\longrightarrow 0.00044 < R_2\left(\frac{5\pi}{18}\right) < 0.00077 \quad \sin 50^\circ = 0.7660444\dots$$

2次插值的实际误差 ≈ 0.00061

高次插值通常优于
低次插值